

УДК 547.857:547.298:543.442

## СИНТЕЗ И ФИЗИКО-ХИМИЧЕСКИЕ СВОЙСТВА НЕКОТОРЫХ ГИДРАЗОНОВ ГИДРАЗИДА ПУРИНИЛ-6-ТИОУКСУСНОЙ КИСЛОТЫ

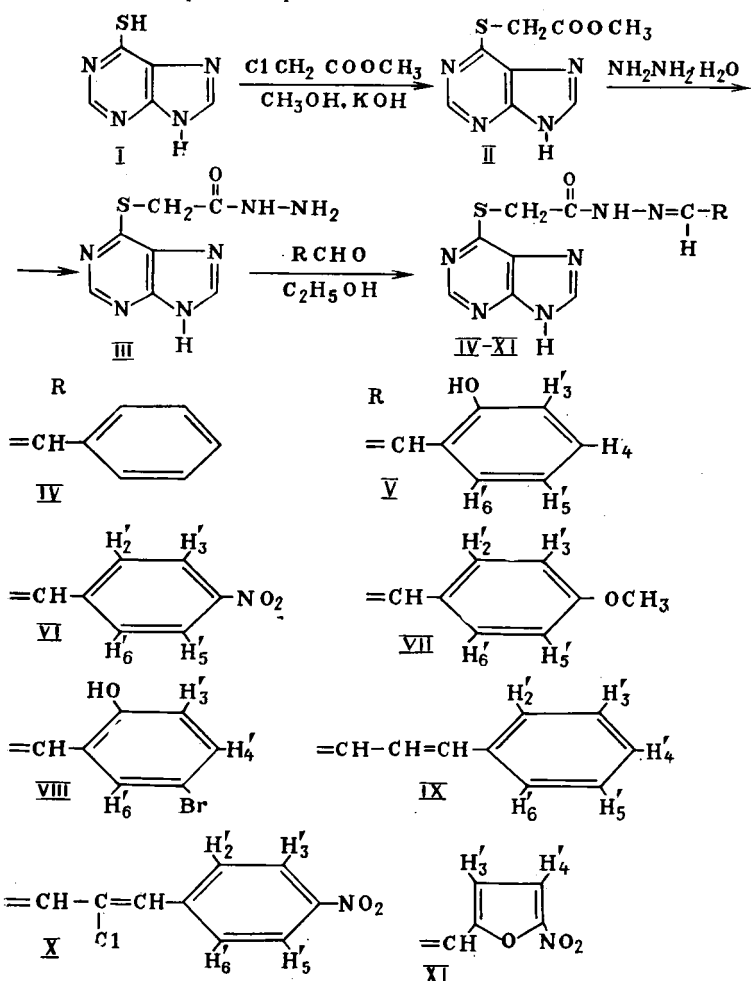
Е. В. КОЧЕРГИНА, Р. И. СИНИЦЫНА, А. Н. КРАСОВСКИЙ, Н. А. КЛЮЕВ,  
Н. М. ПРЖЕВАЛЬСКИЙ

(Кафедра органической химии, Запорожский медицинский институт)

Многие соединения ряда пурина обладают широким спектром биологической активности. Известно, что 6-тиопурин и его производные отличаются высокой противоопухолевой активностью, они оказывают тормозящее действие на развитие лейкемии, активны по отношению к отдельным видам вирусов и бактерий [4]. Высокой физиологической активностью характеризуются также соединения, относящиеся к классу гидразонов, в том числе и гидразоны аромати-

ческих альдегидов и кетонов [1]. В связи с этим целью настоящей работы являлись разработка метода синтеза и изучение физико-химических свойств некоторых производных 6-тиопурина, содержащих гидразонный фрагмент, как потенциально активных соединений.

Синтез гидразонов гидразида пуринил-6-тиоуксусной кислоты проводили по следующей схеме:



При обработке 6-тиопурина (I) метиловым эфиром  $\alpha$ -хлоруксусной кислоты в спирте в присутствии щелочи образуется с выходом  $\sim 90\%$  метиловый эфир пуринил-6-тиоуксусной кислоты (II), который путем гидразинолиза количественно превращается в гидразид (III). Далее по общему методу синтеза гидразонов были впервые получены с высоким выходом (табл. 1) гидразоны IV—XI на основе бензальдегида, содержащего в м- и п-положениях группы  $\text{NO}_2$ ,  $\text{OH}$ ,  $\text{OCH}_3$ ,  $\text{Br}$  (соответственно VI, V, VII, VIII), а также гидразоны коричного (IX) и замещенного коричного альдегида (X) и 5-нитрофурофура (XI). Чистоту всех полученных соединений контролировали с помощью метода ТСХ на силуфоле. Структура гидразонов IV—XI доказана с помощью методов ИК, УФ, ПМР и масс-спектрометрии. Представляется целесообразным обсудить экспериментальные данные по каждому виду спектроскопии и масс-спектрометрии, чтобы составить более отчетливое представление о связи между строением синтезированных соединений и их спектральными характеристиками.

**ИК-спектры.** Отнесение полос поглощения в ИК-спектрах изучаемых веществ проведено дифференцировано. В табл. 2 представлены характеристические частоты ( $\text{cm}^{-1}$ ) в валентных ( $\nu$ ) и деформационных ( $\delta$ ) колебаниях пуринового ядра, гидразидного и гидразонного фрагментов.

Во всех ИК-спектрах соединений III—XI имеются полосы поглощения групп  $\text{C}=\text{C}$ ,  $\text{C}=\text{N}$ ,  $\text{NH}$  (в цикле),  $\text{C}_\text{H,аром}$ , присущие пуриновому циклу. Полосы поглощения  $\text{NH}=\text{-группы}$  в цикле всегда уширены, что свидетельствует о возможности образования ассоциата [10] по типу возникновения подобных структур в ряду пиразолов. В области  $3560\text{--}2400\text{ cm}^{-1}$  наблюдается общее широкое поглощение, обусловленное

внутримолекулярной водородной связью между атомом азота  $\text{N}_7$  в ядре пурина и метиленовой группировкой в заместителе. Во всех соединениях проявляется интенсивная полоса поглощения карбонильной группы (амидная полоса). Полосы  $\nu_{\text{C-S-C}}$  в ИК-спектрах соединений III—XI слабо выражены. Интерпретация этого фрагмента проводится путем рассмотрения  $\delta$ -колебаний, проявляющихся в виде узкой полосы при  $650\text{ cm}^{-1}$ , которая практически не смещается под влиянием  $\text{R}$  (табл. 2). В ИК-спектрах всех соединений также четко фиксируются полосы поглощения активной метиленовой группировки [3], но отнесение слабой и широкой полос поглощения  $\text{NH}$  в этом фрагменте молекулы затруднено и неоднозначно.

В гидразонной части молекулы (заместитель  $\text{R}$ ) для каждого конкретного соединения удалось обнаружить характеристические частоты, присущие данной функциональной группе (табл. 2). Например, для пури-

на VI это  $\nu_{\text{C=N}} = 1630\text{ cm}^{-1}$ ,

$\nu_{\text{asC-NO}_2} = 1520\text{ cm}^{-1}$ ,

$\nu_{\text{sc-NO}_2} = 1340\text{ cm}^{-1}$ ,  $\delta_{\text{C-NO}} = 630\text{ cm}^{-1}$ .

Таким образом, с помощью ИК-спектроскопии можно достаточно строго контролировать наличие пуринового цикла, гидразидного фрагмента и заместителя  $\text{R}$ .

**УФ-спектры** нейтральных растворов незамещенного пурина, как известно [6], характеризуются наличием двух широких интенсивных полос поглощения с  $\lambda_{\text{макс}} < 220\text{ nm}$  ( $\epsilon > 3000$ ) и  $\lambda_{\text{макс}} = 263\text{ nm}$  ( $\epsilon = 7600$ ). У 6-тизамещенных пуринов III—XI (табл. 3) коротковолновая полоса поглощения, ранее находившаяся в диапазоне длин волн, малодоступных измерению, смещается в область  $> 220\text{ nm}$  вследствие влияния электронодонорного заместителя  $\text{R}$ .

Таблица 1

Константы и выход гидразонов гидразида пуринил-6-тиоуксусной кислоты

Соединение	Выход, %	Найдено, %				Вычислено, %				Т. пл., (с разложением), $^{\circ}\text{C}$	$R_f$
		C	H	N	S	C	H	N	S		
III	73	38,1	3,96	36,5	14,7	37,5	3,6	37,5	14,3	194—195	0,71
IV	90	53,6	4,0	26,9	10,2	53,8	3,9	26,9	10,3	237—238	0,75
V	96	51,4	3,9	25,1	9,3	51,2	3,7	25,6	9,8	238—240	0,84
VI	93	47,2	3,3	27,9	9,4	47,1	3,1	27,4	9,0	271—273	0,46
VII	84	53,2	4,3	24,7	9,3	52,6	4,1	24,5	9,4	238—240	0,85
VIII	94	41,7	2,9	20,4	7,5	41,2	3,0	20,6	7,9	242—243	0,88
IX	90	56,4	4,2	24,8	9,7	56,8	4,2	24,8	9,5	229—230	0,83
X	92	46,1	3,5	22,9	7,5	46,0	2,9	23,5	7,7	227—228	0,56
XI	91	41,6	2,9	28,0	9,7	41,5	2,6	28,2	9,2	230—232	0,82

**Примечание.** Производные пуринил-6-тиоуксусной кислоты: соединение III — гидразид ( $\text{C}_8\text{H}_8\text{N}_6\text{OS}$ ); IV — N-бензилиденгидразид ( $\text{C}_{14}\text{H}_{12}\text{N}_6\text{OS}$ ); V — N-(2'-оксибензилиден)гидразид ( $\text{C}_{14}\text{H}_{12}\text{N}_6\text{O}_2\text{S}$ ); VI — N-(4'-нитробензилиден)гидразид ( $\text{C}_{14}\text{H}_{11}\text{N}_7\text{O}_3\text{S}$ ); VII — N-(4'-метоксибензилиден)гидразид ( $\text{C}_{15}\text{H}_{14}\text{N}_6\text{O}_2\text{S}$ ); VIII — N-(2'-окси-5'-бромбензилиден)гидразид ( $\text{C}_{14}\text{H}_{12}\text{N}_6\text{O}_2\text{SBr}$ ); IX — N-( $\beta$ -фенилакрилиден)гидразид ( $\text{C}_{16}\text{H}_{14}\text{N}_6\text{OS}$ ); X — N-[ $\alpha$ -хлор- $\beta$ -(3'-нитро)фенилакрилиден]гидразид ( $\text{C}_{16}\text{H}_{12}\text{N}_7\text{O}_3\text{SCl}$ ); XI — N-[2'-(5'-нитро)фурфуралиден]гидразид ( $\text{C}_{12}\text{H}_9\text{N}_7\text{O}_4\text{S}$ ).

Таблица 2

ИК-спектры соединений III — XI (в числителе —  $\nu_{as}$ , в знаменателе —  $\nu_s$ )

Соединение	Колебания пуринового цикла				Внутримолекулярная водородная связь	Колебания гидразидного фрагмента					
	$\nu_{C-C}$	$\nu_{C-N}$	$\nu_{NH}$	$\nu_{CH}$		$\nu_{NH_2}$	$\nu_{CH_2}$	$\delta_{CH_2}$	$\nu_{CO}$	$\nu_{C-S}$	$\delta_{C-S}$
III	1605	1580	3400	3020	2400—3560	3340 3310	2920 2800	1435 1385	1700 1680	2560	650
IV	1600	1580	3430	3000	2400—3500	3210	2850	1450 1380	1690	—	650
V	1600	1580	3430	3070	2400—3600	3200	2900 2810	1400 1370	1670	2570	648
VI	1600	1575	3440	3000	2400—3580	3230	2835	1385 1350	1695	2530	645
VII	1610	1570	3430	3080	2400—3600	3230	2980	1410	1690	—	640
VIII	—	1580	3450	3065	2400—3600	3220	2900 2800	1400 1360	1670	2570	648
IX	1600	1575	3430	3080	2400—3580	3210	2950 2830	1405 1380	1680	—	640
X	1590	1560	3500	3080	2400—3500	3330 3200	2960 2850	1400 1380	1675	—	650
XI	1600	1580	3460	3090	2400—3600	3150	2960 2830	1400 1370	1710	2560	645

Примечание. Колебания гидразонного фрагмента R: III —  $\nu_{as} NH_2$  3470;  $\nu_s NH_2$  3400; IV —  $\nu_{C=N}$  1600; V —  $\nu_{C=N}$  1630;  $\nu_{OH}$  3530; VI —  $\nu_{as} C-NO_2$  1520;  $\nu_s C-NO_2$  1340;  $\delta_{C-NO}$  630; VII —  $\nu_{C=N}$  1600;  $\nu_{CH_2}$  2850;  $\nu_{as} CO$  1260;  $\nu_s CO$  1042; VIII —  $\nu_{C=N}$  1620;  $\nu_{OH}$  3450; IX —  $\nu_{C-H_{\text{аром}}}$  3110; X —  $\nu_{C-Cl}$  600—800;  $\nu_{as} C-NO_2$  1530;  $\nu_s C-NO_2$  1350;  $\delta_{CNO_2}$  610; XI —  $\nu_{C=N}$  1540;  $\nu_{C-H_{\text{фурана}}}$  3150,  $\nu_{C=C}$  1530;  $\delta_{C=C}$  875;  $\nu_{as} C-NO_2$  1530;  $\nu_s C-NO_2$  1350;  $\delta_{C-NO}$  630

положении 6-пуринового ядра ( $\pi \rightarrow \pi^*$  переход).

Такое влияние характерно для всех электронодонорных заместителей и обусловлено  $\pi \rightarrow \pi^*$  переходом, поскольку миграция не-

поделенной пары электронов в сопряженную систему пурина стабилизирует возбужденное состояние молекулы (энергия перехода между основным и возбужденным состоянием уменьшается) [5].

Таблица 3

Основные полосы поглощения замещенных пуринов III — XI в УФ-спектрах

Соединение (в скобках — растворитель)	$\lambda_{\text{макс}}$	$\epsilon_{\text{макс}}$	Соединение (в скобках — растворитель)	$\lambda_{\text{макс}}$	$\epsilon_{\text{макс}}$
III ( $C_2H_5OH$ )	{ 222 286	4 700 7 200	VII ( $C_2H_5OH$ )	{ 224 293	36 400 38 890
IV (этilenгликоль)	{ 220 293	24 000 33 900	VIII ( $C_2H_5OH$ )	{ 284 292	6 050 5 200
V ( $C_2H_5OH$ )	{ 282 291 323	7 050 7 200 2 600	IX (этilenгликоль)	{ 224 316	25 140 35 550
VI ( $C_2H_5OH$ )	{ 222 282	19 950 36 400	X (этilenгликоль)	{ 256 289 347	13 600 24 580 25 560
			XI ( $C_2H_5OH$ )	{ 285 369	24 460 25 680

Практически для всех изученных соединений наблюдается батохромный сдвиг (280—290 нм) второй, более длинноволновой полосы поглощения перехода  $\pi \rightarrow \pi^*$ . В некоторых образцах (V и VIII) эта полоса расщепляется на две, что объясняется сложностью полосы поглощения замещенных пуринов в области  $\sim 280$ — $290$  нм [11], так как соответствующий ей электронный переход обусловлен преимущественно продольной поляризацией пуринового ядра и в меньшей степени поперечной поляризацией [10].

Как и следовало ожидать, наиболее близок к спектру незамещенного пурина спектр образца III, где  $R=2H$ , ибо введение электронодонорной меркальто-группы в положение 6 пуринового цикла должно давать незна-

чительный эффект (по аналогии с подробно изученным влиянием OH и NH<sub>2</sub>-групп, находящихся в различных положениях пуринового ядра [7]). В результате введения ароматических заместителей по гидразинной компоненте в спектре молекул IV—XI появляется еще одна длинноволновая полоса в области  $>320$  нм (образцы V, VIII, X, XI), интенсивность которой более низкая, чем в области 280—290 нм (табл. 3).

Спектры ПМР. Отнесение сигналов ароматических протонов H<sub>2</sub> и H<sub>8</sub> пуринового ядра было сделано на основании работ [2, 13]. Отметим, что ни в одном из исследованных образцов (III—XI) сигнал протона у атома азота имидазольного цикла не проявлялся (табл. 4). По-видимому, происходит обмен его на дейтерий при съемке ПМР-

Таблица 4

Спектры ПМР соединений III—XI (сигналы протонов в м. д. по шкале  $\delta$ ;  $(j)$  дана в герцах)

H <sub>2</sub>	H <sub>8</sub>	s—CH <sub>2</sub>	N=C—H	H <sub>2'</sub>	H <sub>3'</sub>	H <sub>4'</sub>	H <sub>5'</sub>	H <sub>6'</sub>
Соединение III								
c, 8,65 (1 H)	c, 8,40 (1 H)	c, 4,06 (2 H)	—	—	—	—	—	—
IV								
c, 8,64 (1 H)	c, 8,39 (1 H)	c, 4,17 (2 H)	c, 4,62 (1 H)		m, 7,30—8,42 (5 H)			
V								
c, 8,68 (1 H)	c, 8,41 (1 H)	c, 4,25 (2 H)	c, 4,64 (1 H)	—	d, 8,37 J <sup>3', 4'=9</sup>	m, 7,31—7,55 (3 H)		
VI								
c, 8,64 (1 H)	c, 8,36 (1 H)	c, 4,20 (2 H)	c, 4,68 (1 H)	d, 7,92 J <sup>2', 3'=9</sup>	d, 8,26 J <sup>2', 3'=9</sup>	—	d, 8,26 J <sup>5', 6'=9</sup>	d, 7,92 J <sup>5', 6'=9</sup>
VII								
c, 8,58 (1 H)	c, 8,30 (1 H)	c, 4,15 (2 H)	c, 4,59 (1 H)	d, 7,60 J <sup>2', 3'=9</sup>	d, 6,92 J <sup>2', 3'=9</sup>	—	d, 6,92 J <sup>5', 6'=9</sup>	d, 7,60 J <sup>5', 6'=9</sup>
VIII								
c, 8,65 (1 H)	c, 8,39 (1 H)	c, 4,23 (2 H)	c, 4,64 (1 H)	—	d, 7,37 (1 H)	d, 7,68 (1 H)	—	c, 8,26 (1 H)
d, 3', 4'=9					j 3', 4'=9	j 3', 4'=9		
IX								
c, 8,64 (1 H)	c, 8,37 (1 H)	c, 4,19 (2 H)	c, 4,56 (1 H)		m, 7,29—7,65 (4 H)			
X								
c, 8,62 (1 H)	c, 8,34 (1 H)	c, 4,22 (2 H)	c, 4,60 (2 H)	d, 8,05 J <sup>2', 3'=9</sup>	d, 8,30 J <sup>2', 3'=9</sup>	—	d, 8,30 J <sup>5', 6'=9</sup>	d, 8,05 J <sup>5', 6'=9</sup>
XI								
c, 8,65 (1 H)	c, 8,40 (1 H)	c, 4,23 (1 H)	c, 4,62 (1 H)	—	d, 7,20 (1 H)	d, 7,65 (1 H)	—	—
d, 3', 4'=4					j 3', 4'=4	j 3', 4'=4		

Примечание. с — синглет; д — дублет; т — триплет; м — мультиплет. Соединение VII: OCH<sub>3</sub> с. 3,79 (3H); IX — CH = CH с. 6,99 (2H); X — ClC = CH с. 7,46 (1H).

Таблица 5

**Масс-спектры гидразонов гидразида пуринил-6-тиоуксусной кислоты**  
 (приведены ионы с интенсивностью  $\geq 3\%$ ; в числителе — массовое число,  
 в знаменателе — интенсивность пиков в % от максимального)

Ион (усл.)	Структурная формула	Соединение								
		III	IV	V	VI	VII	VIII	IX	X	XI
M+		224 2,8	312 2,0	328 6,7	357 2,7	342 1,7	408 3,5	338 2,2	419 1,6	347 2,6
						406 3,5			417 4,8	
W <sub>M</sub>		0,24	0,13	0,55	0,32	0,10	0,28	0,12	0,13	0,16
Ионы, содержащие пуриновое ядро										
a <sup>+</sup>	Незамещенное яд- ро пурина (P <sup>+</sup> )	119 47,7	119 95,5	119 55,6	119 48,5	119 50,4	119 46,8	119 38,6	119 34,8	119 47,9
(a + H) <sup>+</sup>	PH <sup>+</sup>	120 17,6	120 63,6	120 39,8	120 16,7	120 21,2	120 15,0	120 12,3	120 11,8	120 18,5
b <sup>+</sup>	PS <sup>+</sup>	151 6,8	151 6,2	151 4,0	—	151 12,3	151 3,0	—	151 10,2	—
(b + H) <sup>+</sup>	PSH <sup>+</sup>	152 100,0	152 75,5	152 41,6	152 93,1	152 91,6	152 46,0	152 40,8	152 100,0	152 53,4
b <sup>+</sup>	PSCH <sub>2</sub> <sup>+</sup>	165 25,5	165 98,3	165 59,7	165 91,9	165 61,0	165 48,5	165 54,3	165 36,4	165 76,5
(b + H) <sup>+</sup>	PSCH <sub>3</sub> <sup>+</sup>	166 12,4	166 60,8	166 22,8	166 38,7	166 26,6	166 15,4	166 15,1	166 14,3	166 24,9
r <sup>+</sup>	PSCH <sub>2</sub> CO <sup>+</sup>	193 38,9	193 100,0	193 100,0	193 100,0	193 100,0	193 100,0	193 100,0	193 37,8	193 100,0
d <sup>+</sup>	PSCH <sub>2</sub> CONH <sup>+</sup>	208 —	208 24,9	208 3,0	—	208 3,4	—	—	208 11,0	—
(r + H) <sup>+</sup>	PSCH <sub>2</sub> COH <sup>+</sup>	—	194 83,0	194 14,3	194 13,9	194 19,4	194 10,5	194 12,6	194 17,9	194 11,2
(d + H) <sup>+</sup>	PSCH <sub>2</sub> CONH <sub>2</sub> <sup>+</sup>	—	209 12,6	209 3,0	—	209 3,4	—	—	209 6,6	—
Ионы, содержащие арильную часть										
a' <sup>+</sup>	+SCH <sub>2</sub> C(0) NHNR	105 3,0	193 100,0	209 3,0	238 4,0	223 —	287 —	219 —	300 —	228 4,0
						289 —	—		298 3,0	
(a' + H) <sup>+</sup>	HSCH <sub>2</sub> C(0) NHNR	106 7,6	194 83,0	210 6,5	239 4,5	224 12,6	288 8,4	220 —	301 —	229 4,1
						290 8,3	—		299 —	
+	CH <sub>2</sub> C(0) NHNR	73 3,0	161 13,3	177 3,0	206 —	191 —	255 —	187 7,8	268 —	196 —
						257 —	—		266 3,0	
(b' + H) <sup>+</sup>	CH <sub>3</sub> C(0) NHNR	74 —	162 14,9	178 7,0	207 —	192 24,1	256 7,1	188 —	269 —	197 —
						258 7,0	—		267 —	
b' <sup>+</sup>	C(0) NHNR	59 6,0	147 11,5	163 9,9	192 11,2	177 12,4	241 5,9	173 4,0	254 —	182 —
						243 6,0	—		252 —	

Ион (усл.)	Структурная формула иона	Соединение								
		III	IV	V	VI	VII	VIII	IX	X	XI
(в' + H) <sup>+</sup>	HC(0)NHNH	60 5,9	148 —	164 13,6	193 100,0	178 —	242 —	174 —	255 —	183 —
							244 —		253 —	
г' +	NHNH	31 —	119 95,2	135 52,7	164 6,6	149 16,1	213 6,1	145 25,2	226 8,4	154 52,3
							215 6,0		224 20,3	
(г' + H) <sup>+</sup>	NH <sub>2</sub> NR	32 —	120 63,7	136 30,1	165 91,9	150 53,0	214 8,8	146 9,1	227 3,2	155 5,0
							216 8,8		225 9,0	
д' +		104 54,2	120 39,8	149 3,0	134 73,5	198 18,9	130 14,4	211 3,0	139 3,0	
						200 19,0		209 8,0		
(д' + H) <sup>+</sup>	HNR	105 23,7	121 32,3	150 —	135 91,9	199 42,7	131 3,6	212 —	140 —	
						201 40,8		210 —		

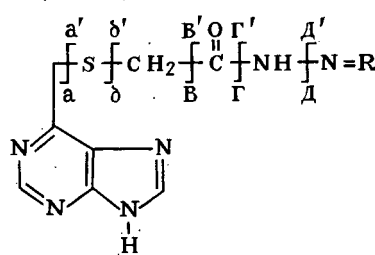
Приимечание. Брутто-состав (MCBP) иона а<sup>+</sup> C<sub>5</sub>H<sub>3</sub>N<sub>4</sub>; (а + H)<sup>+</sup> — C<sub>5</sub>H<sub>4</sub>N<sub>4</sub>; б<sup>+</sup> — C<sub>5</sub>H<sub>3</sub>N<sub>4</sub>S; (б + H)<sup>+</sup> — C<sub>5</sub>H<sub>4</sub>N<sub>4</sub>S; в<sup>+</sup> — C<sub>6</sub>H<sub>6</sub>N<sub>4</sub>S; (в + H)<sup>+</sup> — C<sub>6</sub>H<sub>6</sub>N<sub>4</sub>S; г<sup>+</sup> — C<sub>7</sub>H<sub>5</sub>N<sub>4</sub>SO; д<sup>+</sup> — C<sub>7</sub>H<sub>6</sub>N<sub>5</sub>SO; (г + H)<sup>+</sup> — C<sub>7</sub>H<sub>6</sub>N<sub>4</sub>SO; (д + H)<sup>+</sup> — C<sub>7</sub>H<sub>7</sub>N<sub>5</sub>SO.

спектров. Сигналы амидных протонов соединений III—XI находятся в области 9,31—12,0 м. д. Положение заместителей в бензольном ядре гидразонной части молекулы определяется однозначно по наличию системы АВ в спектре ПМР для пуринов VI, VII, X (табл. 4). Например, для пурина VII двублетья протонов H<sub>2'</sub> и H<sub>6'</sub>, H<sub>3'</sub> и H<sub>5'</sub> проявляются соответственно при 7,92 и 8,26 м. д., константа спин-спинового взаимодействия J<sub>2',3'</sub> = J<sub>5',6'</sub> = 9 Гц. Сигналы протонов метиленовой группы для соединений III—XI лежат в области 4,06—4,27 м. д., а протона при двойной связи фрагмента HC=N — в области 4,59—4,69 м. д. (соединения IV—XI, табл. 4).

Масс-спектры (MC). В масс-спектрах синтезированных соединений III—XI фиксируются пик молекулярного иона (M<sup>+</sup>) и группа осколочных ионов, позволяющих проследить последовательность присоединения определенных структурных фрагментов к ядру пурина. Исследуемые образцы отличаются низкой стабильностью к электронному удару (W<sub>m</sub> = 0,10—0,55 % полного ионного тока), что является следствием одновременного распада M<sup>+</sup> по нескольким направлениям. Первичные акты фрагментации M<sup>+</sup> осуществляются практически по всем σ-связям в заместителе пурина. Вторичные процессы распада характеризуют распад пуринового ядра и арильного остатка R.

Многоканальность в распаде M<sup>+</sup> обусловлена различной локализацией положительного заряда. При сосредоточении заряда на атоме кислорода карбонильной группы (подобно алифатическим кетонам) осуществляется преимущественно α-разрыв связей относительно данной группировки — в МС регистрируются ионы в, в', г, г', имеющие максимальную интенсивность (табл. 5). В случае локализации заряда в пуриновом ядре деструкции подвергается β-связь и в МС соединений III—XI фиксируются ионы б и б'. Менее интенсивно протекают процессы распада связей по направлениям а—а' и д—д' (табл. 5). Такое разделение заряда в M<sup>+</sup> способствует появлению ионов, содержащих пуриновый фрагмент — а—д, и ионов с арильной частью R — а'—д'.

Помимо указанных ионов, в МС веществ III—XI регистрируются перегруппировочные ионы, образование которых связано с миграцией атома водорода в место разрыва связей (табл. 5).



Все пики ионов, содержащие пуриновое ядро, имеют одинаковые массовые числа для соединений III—XI. Их брутто-состав (на примере соединений III, V, VII) доказан с помощью масс-спектров высокого разрешения (MCBP). MCBP также подтверждают брутто-состав осколочных ионов  $a'$ — $d'$ .

Кроме основных ионов, служащих для доказательства строения соединений III—XI (табл. 5), в МС присутствуют вторичные ионы, обусловленные дальнейшим распадом ионов  $(a+H)^+$ ,  $(b+H)^+$ ,  $(c+H)^+$  —  $m/e$  98, 93, 71, 66, 65 [8, 9], а также иона  $(d+H)^+$  —  $[(d'+H)^+-HCN]^+$  и  $[(d'+H)-H_2CN]^+$ . В МС фиксируются также ионы, образование которых связано со специфическим характером процессов распада для функциональных заместителей в арильном ядре.

Для соединения XI распад иона  $d'$  сопровождается элиминированием H, HCN с последующим отщеплением  $\text{NO}_2$ -группы из иона  $(d'-HCN)^+$  [12].

Таким образом, исследование физико-химических характеристик ряда синтезированных гидразонов гидразида пуринил-6-тиоуксусной кислоты позволило надежно установить структуру этих соединений и выяснить некоторые особенности их строения.

### Экспериментальная часть

Тонкослойную, хроматографию всех синтезированных соединений проводили на пластинах «Silufol UV-254» в системе бутанол — уксусная кислота — вода (5:2:3).

ИК-спектры получены на приборе UR-20 в таблетке с КВг. УФ-спектры сняты на спектрофотометре EPS-3T «Hitachi» в этаноле либо этиленгликоле, спектры ПМР — на приборе WH-90 «Bruker», в ДМСО —  $d_6$ , ТМС — в качестве стандарта.

Масс-спектры низкого и высокого разрешения получены на приборе «Varian» MAT-311a. Условия съемки спектров: ионизирующее напряжение 70 эВ, ток эмиссии катода 300 мА, ускоряющее напряжение 3 кВ, температура съемки — 280—310 °C. Пробы образцов вводили в ионный источник техникой прямого ввода.

Метиловый эфир пуринил-6-тиоуксусной кислоты (II). Растворяют

2,8 г (0,05 М) KOH в 150 мл воды и добавляют 8,5 г (0,05 М) 6-тиопурина. К полученному раствору прибавляют 6 г (0,05 М) метилового эфира  $\alpha$ -хлоруксусной кислоты в 100 мл метилового спирта. Смесь выдерживают при комнатной температуре в течение 10 ч. Через 3 ч после начала реакции начинает выпадать белый осадок, который после завершения реакции отфильтровывают, промывают водой и перекристаллизовывают из 50%-ного этанола. Выход 10,0 г (92 %), т. пл. 164—166° (с разл.)

$R_f$ , 0,69. Найдено: C 39,5; H 4,0; N 23,0; S 13,2 %.  $C_8H_8N_4O_2S$ . Вычислено: C 39,7; H 4,2; N 23,2; S 13,2 %. УФ-спектр (в этаноле),  $\lambda_{\text{макс}}$  (lgε) 215 (3,94), 280 (4,07), 286 (4,06). ИК-спектр:

1580 ( $\nu_{\text{C}=\text{N}}$ ), 1610 ( $\nu_{\text{C}=\text{C}}$ ), 3080 ( $\nu_{\text{CH}_{\text{аром}}}$ ), 3430 ( $\nu_{\text{NH}}$ ) — колебания пуринового цикла; 650 ( $\delta_{\text{C}-\text{S}-\text{C}}$ ), 2590 ( $\nu_{\text{C}-\text{S}-\text{C}}$ ), 1450 ( $\delta_{\text{CH}_2}$ ), 2830 ( $\nu_{\text{CH}_2}$ ), 1760 ( $\nu_{\text{CO}}$ ), 2990 ( $\nu_{\text{CH}_3}$ ).

ПМР-спектр: 8,67 (1H, с) —  $\text{H}_2$ ; 8,47 (1H, с) —  $\text{H}_5$ ; 1,18 (3H, с) —  $\text{OCH}_3$ . Масс-спектр ( $m/e$ ): 42 (4,0); 43 (11,2); 53 (4,2); 55 (5,1); 59 (3,0); 65 (10,1); 66 (13,2); 77 (6,3); 92 (8,5); 93 (12,8); 119 (28,7); 120 (11,0); 151 (3,0); 152 (3,4); 165 (100,0); 166 (9,8); 193 (10,1); 224 (20,7); 225 (3,0).

Гидразид пуринил-6-тиоуксусной кислоты (III). Растворяют 11,2 г (0,05 М) эфира II в минимальном количестве этанола и прибавляют 7,5 г (0,07 М) гидразиногидрата. Смесь встряхивают в течение 2 ч. Выпавший белый осадок отфильтровывают и перекристаллизовывают из воды.

Общая методика получения гидразонов гидразида пуринил-6-тиоуксусной кислоты (IV—XI). Растворяют 1,12 г (0,005 М) гидразида III в 10 мл воды. К полученному раствору прибавляют 0,006 М соответствующего альдегида в 15 мл этанола. Смесь нагревают в бане в течение 2 ч. Выпавший осадок отфильтровывают и перекристаллизовывают из смеси ДМФА — вода (3 : 1). Константы и выходы пуринов (IV—XI) приведены в табл. 1.

### ЛИТЕРАТУРА

1. Китаев Ю. П., Бузыкин Б. И. Гидразоны. М.: Наука, 1974. — 2. Леонова Г. С., Бабушкина Т. А., Яшунский В. Г. Аминометилирование 4-оксипиразоло[3,4-]пиrimидина и его метильных производных. — ХГС, 1973, № 10, 1414. — 3. Наканиси К. Инфракрасные спектры и строение органических соединений. М.: Мир, 1965. — 4. Сафонова Т. С. Пути развития химии лекарственных веществ. — Серия химия. М.: Знание, 1978. — 5. Хигаси К., Баба Х., Рембахум А. Квантовая органическая химия. М.: Мир, 1967. — 6. Штерн Э., Тиммоне К. Электронная абсорбционная спектро-

скопия в органической химии. М.: Мир, 1974. — 7. Blout E. R., Field M.—J. Am. Chem. Soc., 1950, 72, 479. — 8. Сополь J. S., Linschitz H.—J. Heterocycl. Chem., 1972, 9, N 2, 379. — 9. Heiss J., Zeller K. P., Voelter W.—Org. Mass Spectrom., 1970, 3, 181—190. — 10. Kost A. N., Grandberg I. I.—Advances in heterocyclic chemistry, 1966, vol. 6, 347. — 11. Mason K.—J. Chem. Soc., 1954, 2071. — 12. Mercier C.—Bull. Soc. Chim. France, 1969, N 12, 4545. — 13. Nollet A., Pandit V.—Tetrah., 1969, vol. 25, 5983.

Статья поступила 17 декабря 1980 г.

### SUMMARY

For the first time some hydrazones of purinyl-6-tioacetic acid hydrazid have been prepared. Certain correlation between the structure of these hydrazones and its spectral properties was found by methods of IR, UV, PMR and mass-spectrometry.